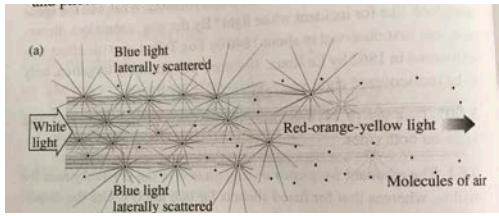


The process of transmission, reflection and refraction are macroscopic manifestations of scattering occurring on a sub-microscopic level

APPUNTI DA HECHT CH. 4

Particelle $d < \sim \lambda/10 \rightarrow$ scattering \downarrow Rayleigh

- intensity $\propto \omega^4$
- scattering elastic
- same intensity over all directions



When $d > 10\lambda \Rightarrow$ geometrical scattering (geometrical optics)

Definizione di interferenza:

"The superposition of two or more waves producing a resultant disturbance that is the sum of the overlapping wave contributions"

"Interference produces a redistribution of energy, out of the regions where it's destructive into the regions where it's constructive"

Transmission

light transmission through a homogeneous medium

\Rightarrow Repetitive process of scattering and rescattering \rightarrow many phase shifts

\Rightarrow global phase shift showing as an apparent shift of the phase velocity with respect to $c \Rightarrow$ corresponding to $v = c/n$

N.B. photons exist only at c

Recall here phase velocity and group velocity (see Saleh-Teich)

\Rightarrow disinterfered poi...

REFLECTION

When a beam of light strikes the interface between two different media, some light is always scattered back, called \Rightarrow reflection

Note: se la trasmissione tra i due mezzi è graduale, ad esempio si varia su una distanza $> \lambda$ allora la riflessione si ottiene molto fino a sparire -
 • se la trasmissione avviene su una distanza $\sim \lambda/4$ allora si in pratica una transizione netta -

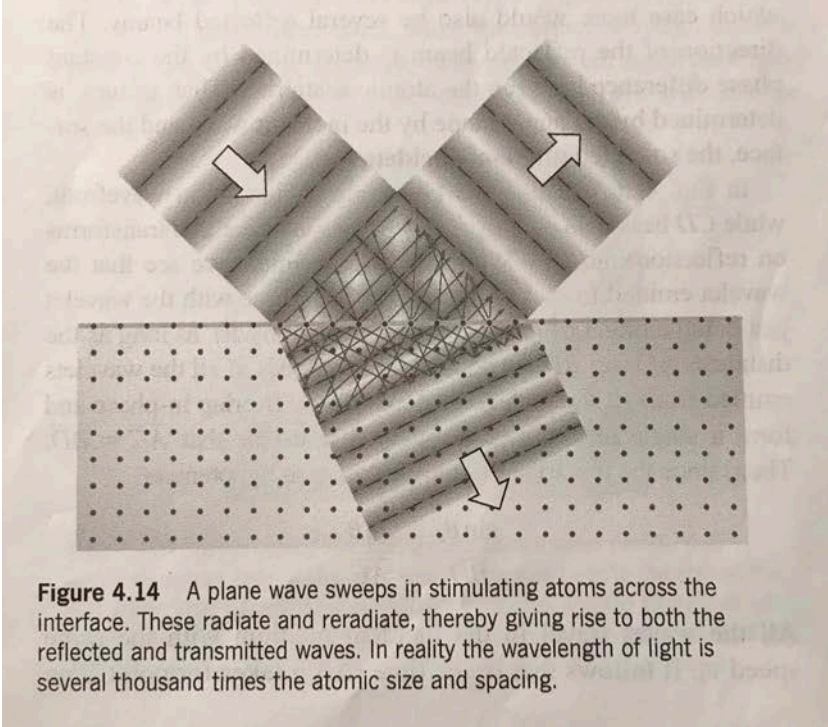


Figure 4.14 A plane wave sweeps in stimulating atoms across the interface. These radiate and reradiate, thereby giving rise to both the reflected and transmitted waves. In reality the wavelength of light is several thousand times the atomic size and spacing.

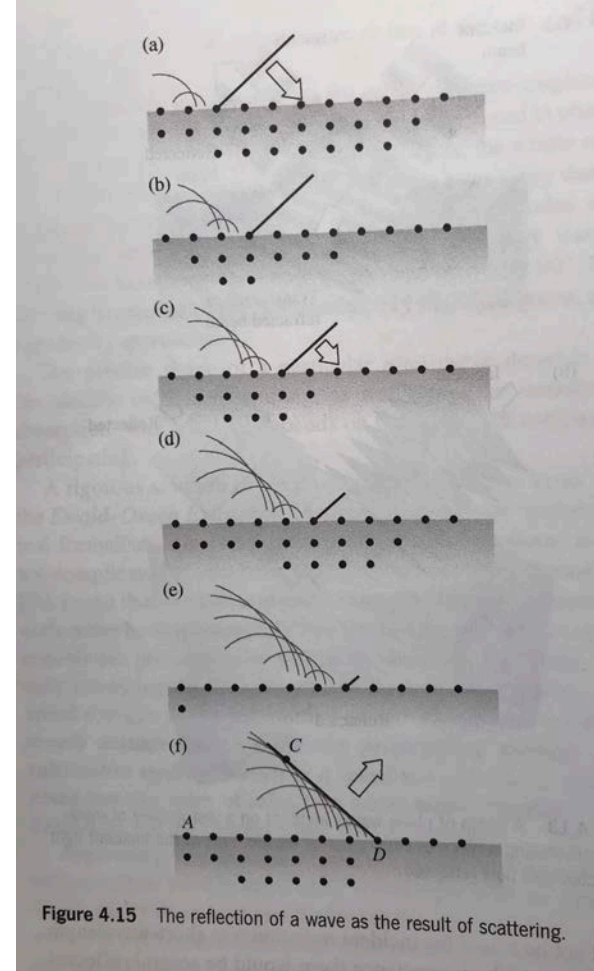


Figure 4.15 The reflection of a wave as the result of scattering.

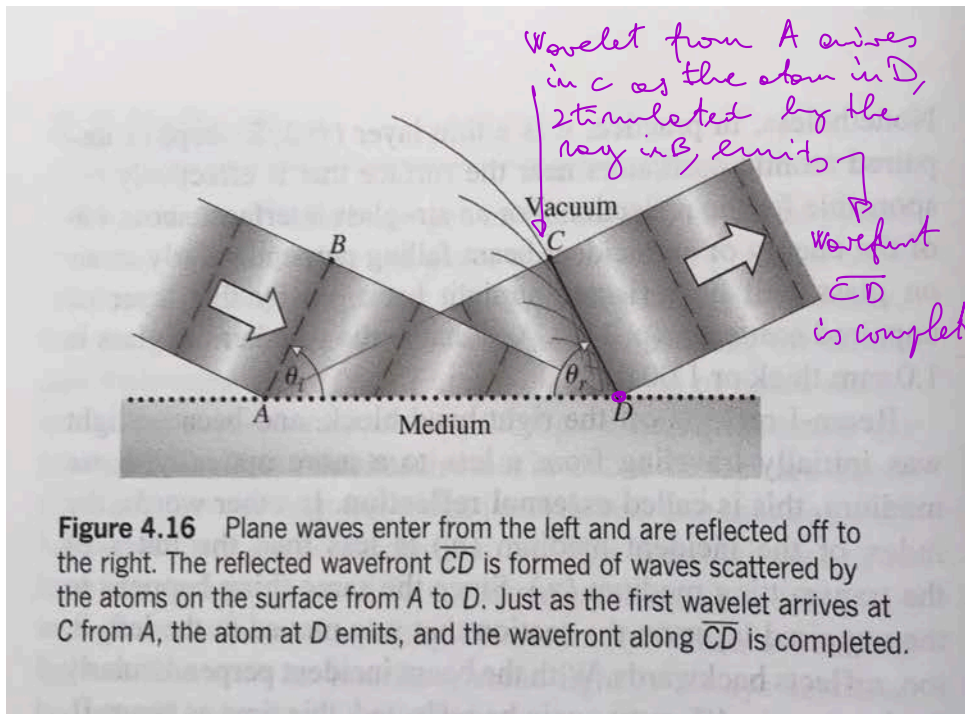


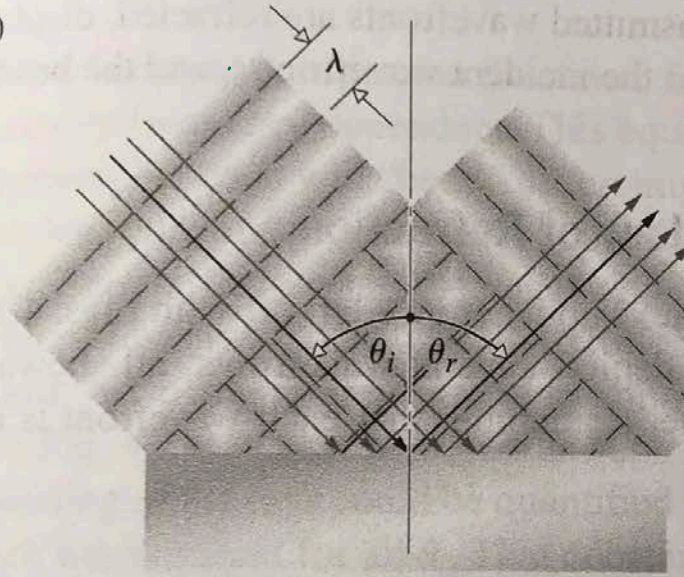
Figure 4.16 Plane waves enter from the left and are reflected off to the right. The reflected wavefront \overline{CD} is formed of waves scattered by the atoms on the surface from A to D . Just as the first wavelet arrives at C from A , the atom at D emits, and the wavefront along \overline{CD} is completed.

$\overline{AC} = \overline{BD} = v \cdot \Delta t$
 \overline{ABD} e \overline{ACD} hanno
 l'ipotenusa \overline{AD} in
 comune, per cui
 $\overline{AC} = \overline{BD} \sin \theta_r$
 $\overline{BD} = \overline{AD} \sin \theta_i$
 $\Rightarrow \theta_i = \theta_r$ LEGGE DELLA
 RIFLESSIONE

RAY: A ray is a line drawn in space corresponding to the direction of flow of radiant energy

mezze omogenee \rightarrow raggi sono linee rette
mezzo isotropo \rightarrow raggi \perp ai fronti d'onda

(a)



(b)

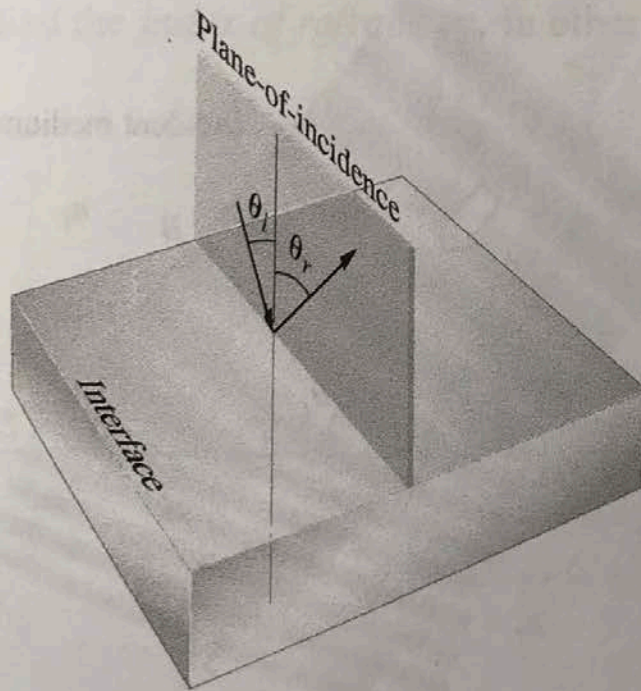


Figure 4.17 (a) Select one ray to represent the beam of plane waves. Both the angle-of-incidence θ_i and the angle-of-reflection θ_r are measured from a perpendicular drawn to the reflecting surface. (b) The incident ray and the reflected ray define the *plane-of-incidence*, perpendicular to the reflecting surface.

RIFRAZIONE

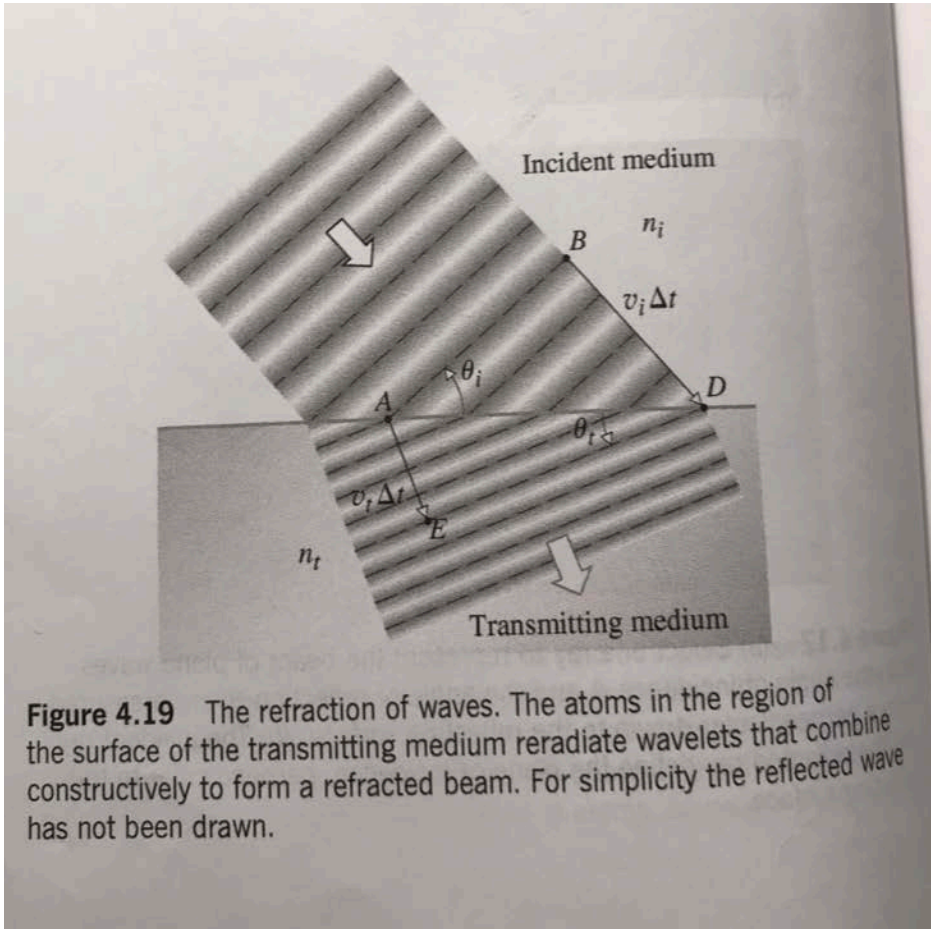


Figure 4.19 The refraction of waves. The atoms in the region of the surface of the transmitting medium reradiate wavelets that combine constructively to form a refracted beam. For simplicity the reflected wave has not been drawn.

Nel tempo Δt il raggio da B arriva in D
 $\overline{BD} = v_i \Delta t = \frac{c}{n_i} \Delta t$

Nello stesso tempo Δt il fronte dell'onda arriva da A, quando il raggio da B parte, arriva in E

$$\overline{AE} = v_t \Delta t = \frac{c}{n_t} \Delta t$$

I triangoli \overline{ADB} e \overline{ADE} hanno a comune l'ipotenusa \overline{AD} :

$$\overline{AD} \sin \theta_i = v_i \Delta t$$

$$\overline{AD} \sin \theta_t = v_t \Delta t$$

$$\Rightarrow \frac{n_i \sin \theta_i}{v_i} = \frac{n_t \sin \theta_t}{v_t}$$

$$n_i \sin \theta_i = n_t \sin \theta_t$$

LEGGE DI SNELL

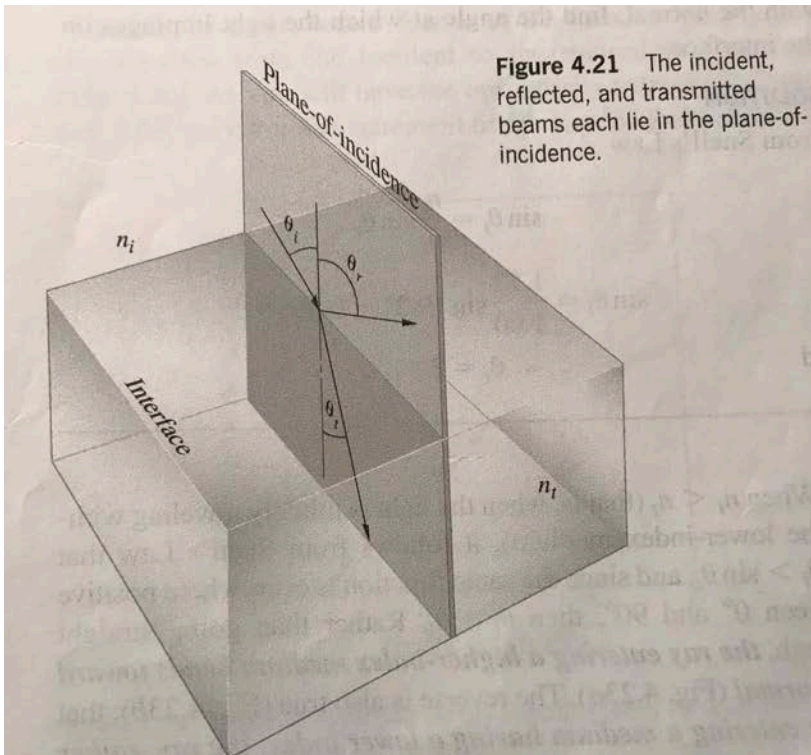


Figure 4.21 The incident, reflected, and transmitted beams each lie in the plane-of-incidence.

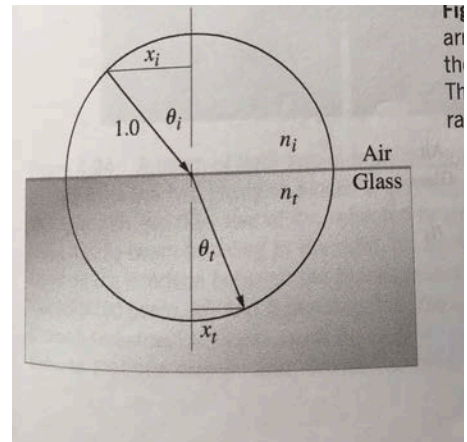
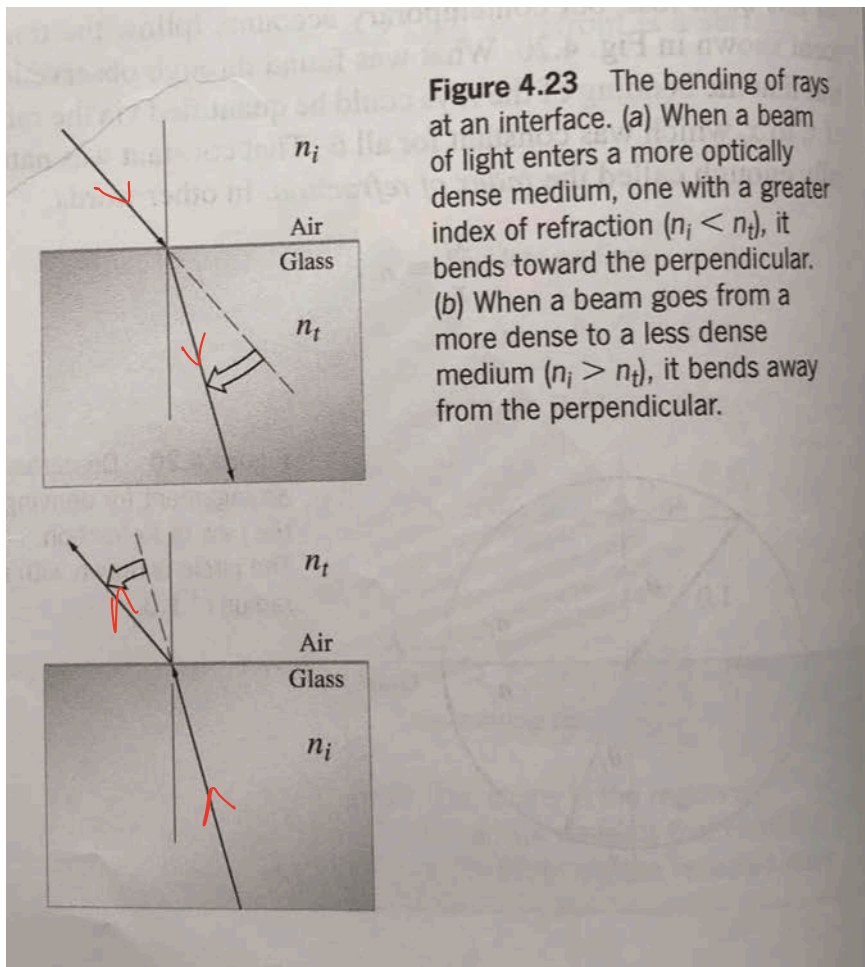


Figure 4.20 Descartes's arrangement for deriving the Law of Refraction. The circle is drawn with a radius of 1.0.

Sperimentalmente $\frac{x_i}{x_t} = \text{costante} = n_t$

$$\Rightarrow \frac{n_i \sin \theta_i}{\sin \theta_t} = n_t \quad \text{se } n_i = 1$$

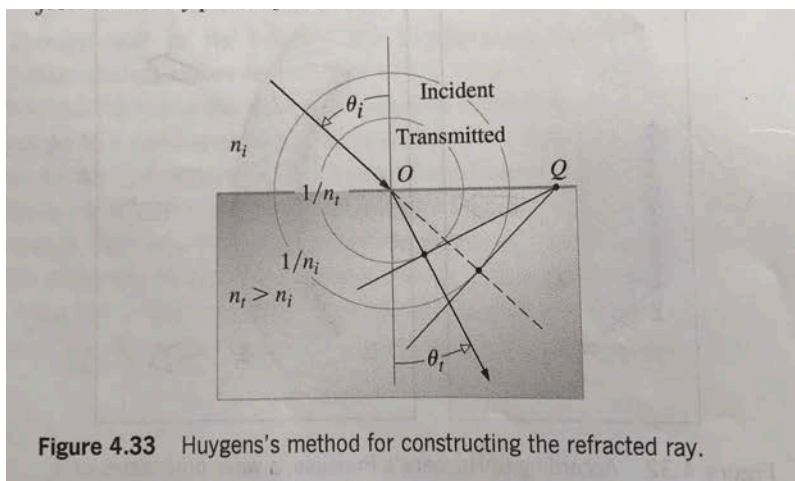
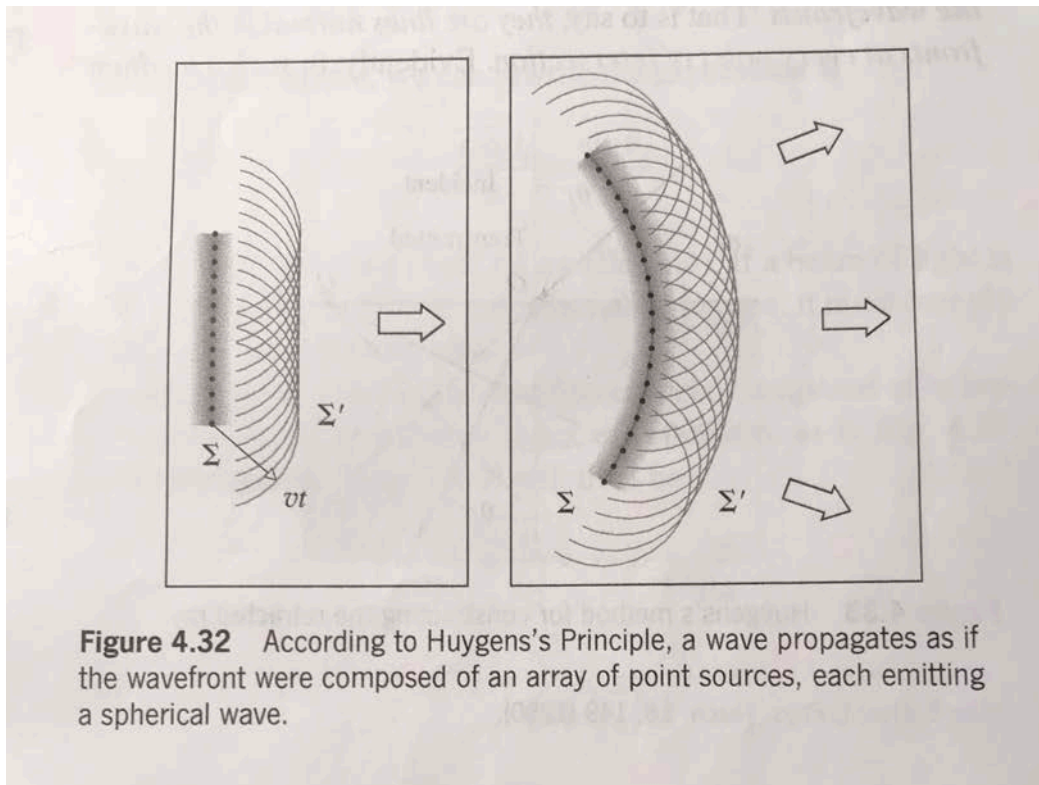


Principio di reciprocità:
 il raggio compie lo stesso percorso e si inverte la direzione di propagazione

Nel fenomeno della rifrazione, occorrono tre cose importanti quando il fascio luminoso attraversa l'interfaccia:

- cambia direzione
- nel mezzo con n maggiore la sezione trasversale del fascio è maggiore, quindi la densità di energia è minore
- la lunghezza d'onda varia $\lambda = \frac{\lambda_0}{n}$ visto che la frequenza non varia, mentre la velocità varia $\lambda \nu = v \Rightarrow \lambda_0 \nu = c \quad \lambda \nu = \frac{c}{n} = \frac{\lambda_0}{n}$

PRINCIPIO DI HUYGENS



COSTRUZIONE DI
HUYGENS DEL
RAGGIO RIFRATTO

PRINCIPIO DI FERMAT

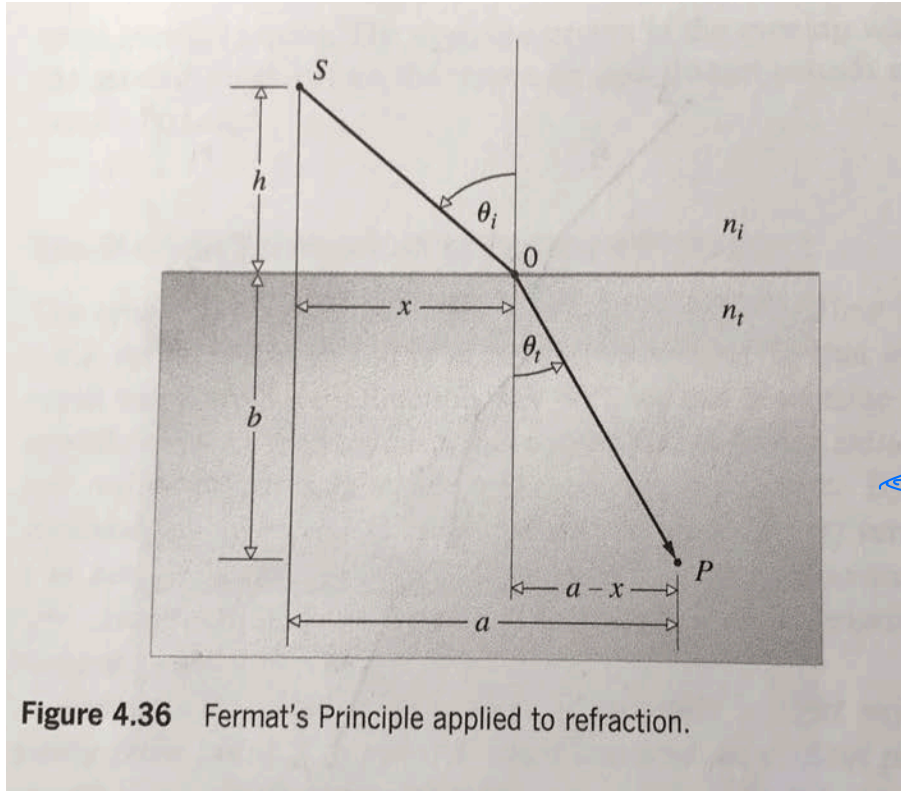


Figure 4.36 Fermat's Principle applied to refraction.

Tra tutti i possibili percorsi tra due punti, una raggio luminoso segue quello che richiede il tempo minore

← Applichiamo alla riflessione

O si porta nell'interfaccia ed varia di x

Il tempo di percorrenza tra S e P è dato da

$$t = \frac{SO}{v_i} + \frac{OP}{v_t} = \frac{(h^2 + x^2)^{1/2}}{v_i} + \frac{[b^2 + (a-x)^2]^{1/2}}{v_t}$$

Minimizzare t rispetto ad x:

$$\frac{dt}{dx} = \frac{x}{v_i (h^2 + x^2)^{1/2}} + \frac{-(a-x)}{v_t [b^2 + (a-x)^2]^{1/2}} = 0 \quad \text{cioè}$$

$$\frac{nv_i \sin \theta_i}{v_i} + \frac{-nv_t \sin \theta_t}{v_t} = 0 \Rightarrow \text{legge di Snell}$$

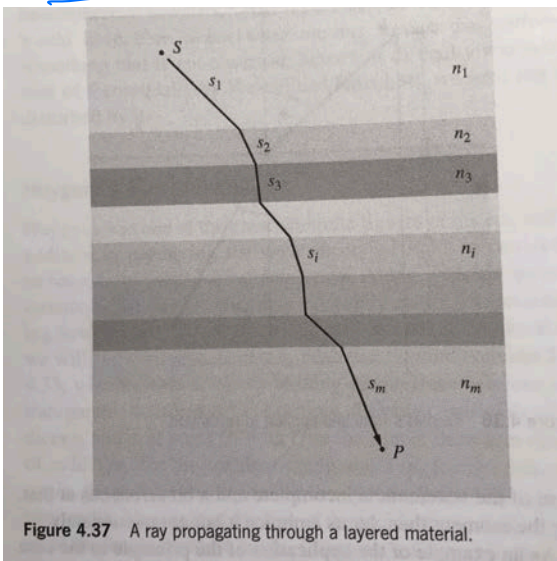


Figure 4.37 A ray propagating through a layered material.

Supponiamo ora di avere un materiale fatto a strati con differenti indici di rifrazione. Allora

$$t = \frac{S_1}{v_1} + \frac{S_2}{v_2} + \dots = \frac{1}{c} \sum_{i=1}^m n_i S_i$$

↓
A

"CAMMINO OTTICO"

In generale, per un mezzo non omogeneo $n = n(x)$ (funzione delle coordinate) e quindi

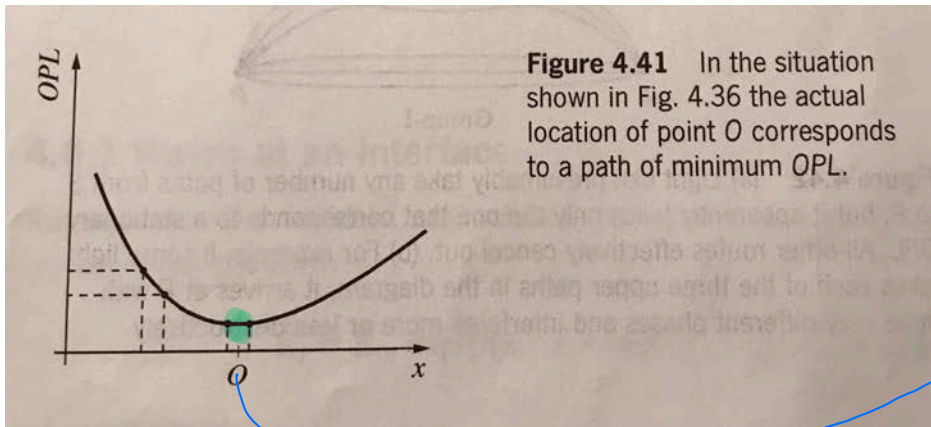
$$\text{CAMM. OTT} = \text{OPL} = \int_S^P n(s) ds$$

Riformuliamo allora il principio di Fermat nel modo seguente

Per andare da un punto S ad un punto P la luce segue il cammino che minimizza la lunghezza del cammino ottico (OPL).

FORMULAZIONE MODERNA DEL PRINCIPIO DI FERMAT SECONDO UN PRINCIPIO VARIAZIONALE

Per andare da un punto S ad un punto P, la luce percorre una lunghezza di cammino ottico (OPL) che è stazionaria rispetto alle variazioni possibili del cammino stesso.



L'OPL del raggio rifratto (v. sopra) ha un minimo per x nel punto O.

→ In realtà c'è un intervallo di punti intorno ad O per cui l'OPL è ancora circa minimo

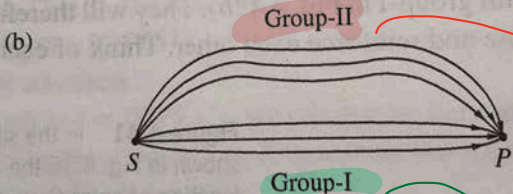
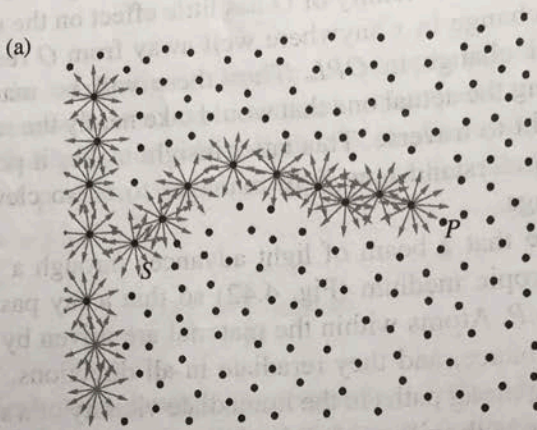


Figure 4.42 (a) Light can presumably take any number of paths from S to P, but it apparently takes only the one that corresponds to a stationary OPL. All other routes effectively cancel out. (b) For example, if some light takes each of the three upper paths in the diagram, it arrives at P with three very different phases and interferes more or less destructively.

atomi de excitati
 rimettono onde
 sferiche.
 Solo quelle
 corrispondenti all'OPL
 "stationarie"
 interferiscono
 costruttivamente in P

Quivens forte
 e interferiscono
 distruttivamente
 Quivens rinfere
 e interferiscono
 costruttivamente

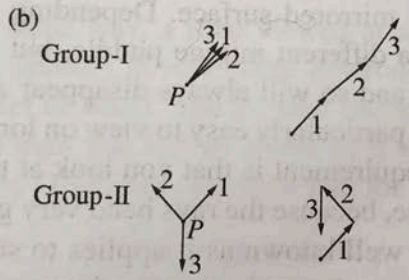
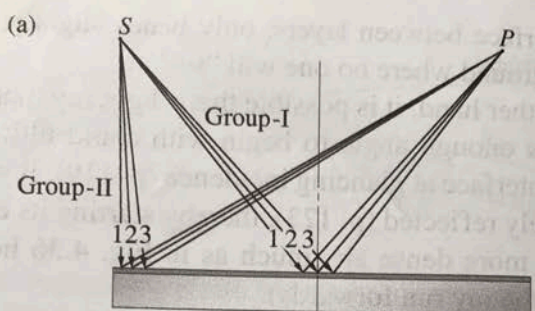
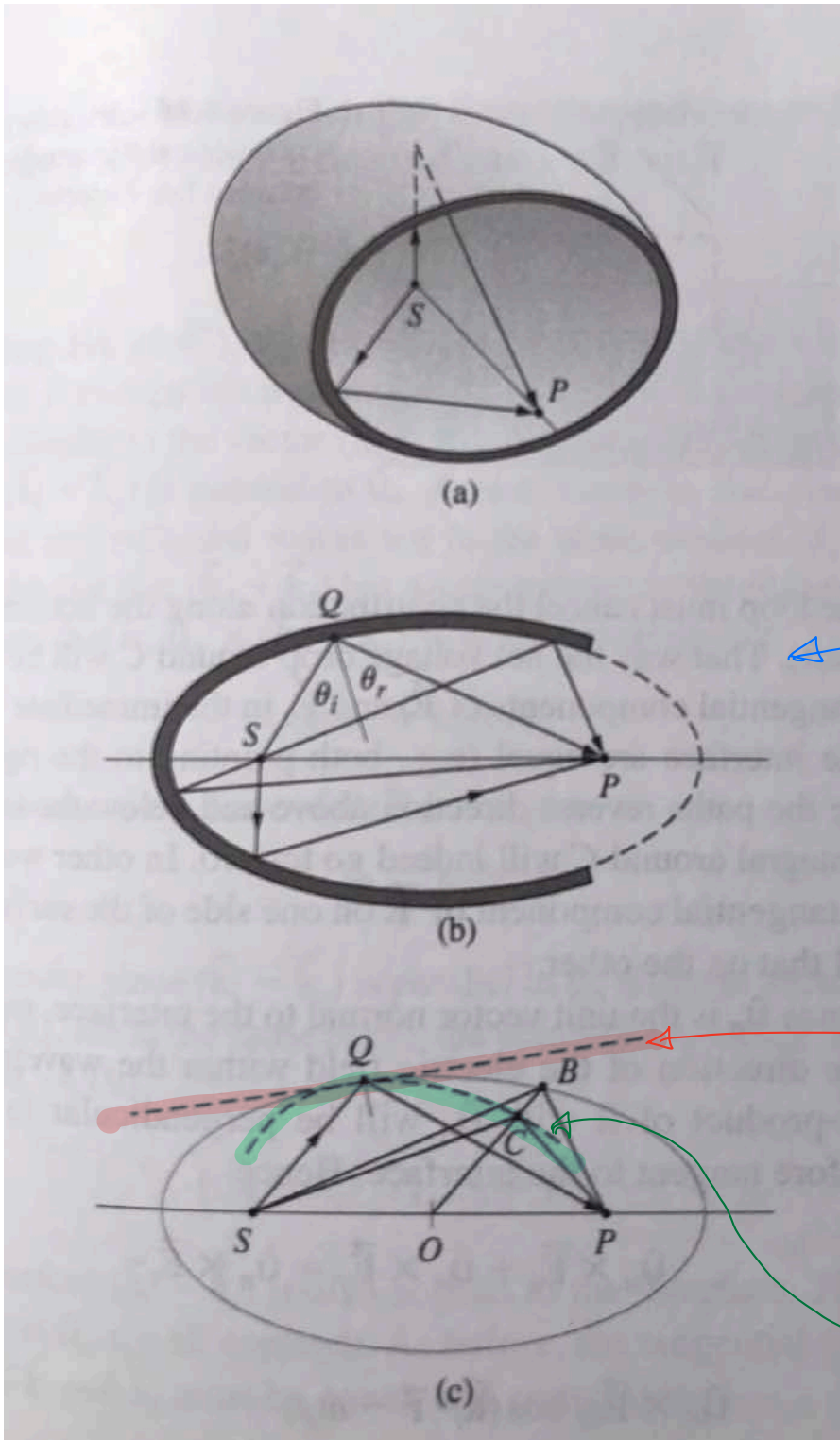


Figure 4.43 Rays reflecting off a plane mirror. Only those in group-I for which the OPL is stationary will correspond to waves that arrive at point P more or less in-phase. These phasors will add along an almost straight line, producing a substantial resultant wave amplitude (going from the tail of 1 to the tip of 3). The phasors for group-II have large phase-angle differences and so when added they essentially spiral around, producing a very small resultant wave amplitude (going from the tail of 1 to the tip of 3). Of course, we should really be drawing millions of very tiny phasors in each group and not just three relatively large ones.

Notare che abbiamo parlato di OPL "stationario" e non semplicemente "minimo". Per illustrare questo concetto consideriamo una sorgente puntiforme posta nel fuoco S di un ellinoide \rightarrow l'immagine si formerà nell'altro fuoco P



Per definizione tutte le traiettorie \overline{SQP} sono uguali al venire di Q lungo l'ellisse \Rightarrow ci sono infiniti percorsi "stationari"

superficie riflettente presa tangente da Q all'ellisse

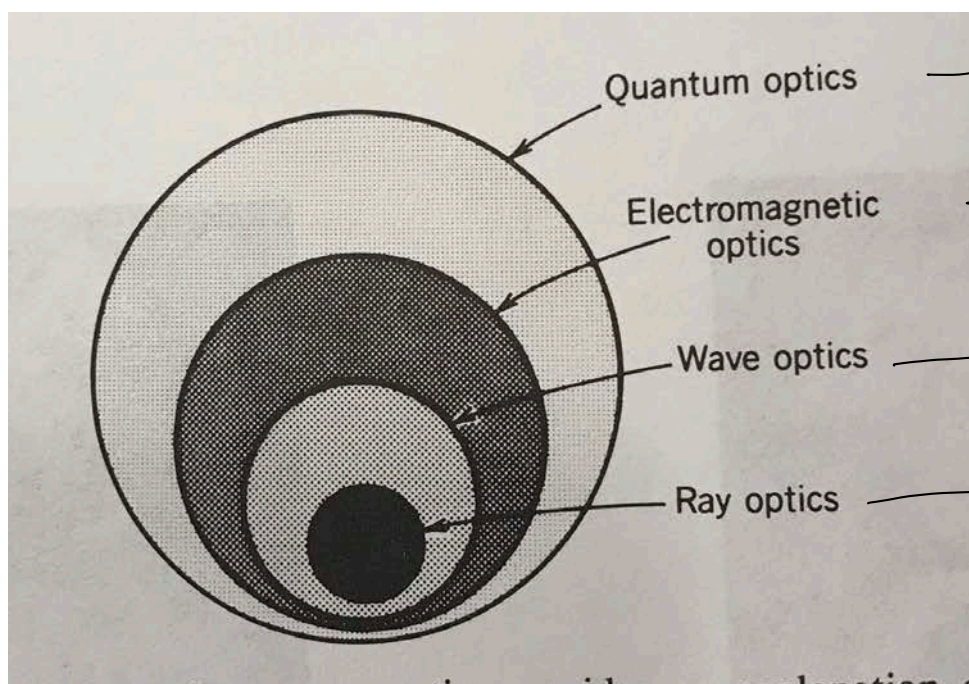
$\Rightarrow \overline{SQP}$ è un minimo (relativo) rispetto quanto visto sopra

Se la superficie riflettente è una

curva interna all'ellisse, allora \overline{SQP} è un massimo relativo -

In tutti i casi l'OPL è quello stationario -

OTTICA GEOMETRICA (RAY OPTICS)



→ inclusione
 dei concetti
 quantistici
 → trattazione
 completa
 con E.M.
 classica
 → trattazione
 moderna
 → approssimazione
 a corto λ

"Perturbati" dell'ottica geometrica

• La luce viaggia seguendo dei **raggi** che non esistono da **origini** e si possono osservare quando colpiscono un **risvolto**

• Un mezzo ottico è caratterizzato da un **indice di rifrazione** $n \geq 1$ tale che $c_n = \frac{c_0}{n}$

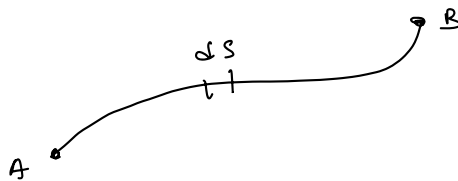
\uparrow velocità della luce nel vuoto
 \uparrow velocità della luce nel mezzo

Nel mezzo la luce attraversa una distanza d nel tempo $t = \frac{d}{c} = \frac{n d}{c_0}$

la quantità $nd = OPL$ è detta "cammino ottico"

• In un mezzo non omogeneo $n = n(\vec{r})$, $\vec{r} = (x, y, z)$ quindi l'OPL tra due punti A e B è dato da

$$OPL = \int_A^B n(\vec{r}) ds$$



Il tempo necessario per andare da A a B è tempo $t = \frac{OPL}{c_0}$

• Principio di Fermat

I raggi che si propagano da A a B seguono un percorso tale che l'OPQ sia un estremo relativamente ai possibili percorsi vicini, cioè un percorso tale che

$$\delta \int_A^B n(\vec{r}) ds = 0$$

L'estremo può essere massimo, minimo o flesso. Di solito è un minimo e allora si dice che i raggi seguono il percorso di tempo minimo. Se ci sono più percorsi che danno lo stesso tempo minimo i raggi li seguono tutti contemporaneamente.

SEMPLICI COMPONENTI OTTICI

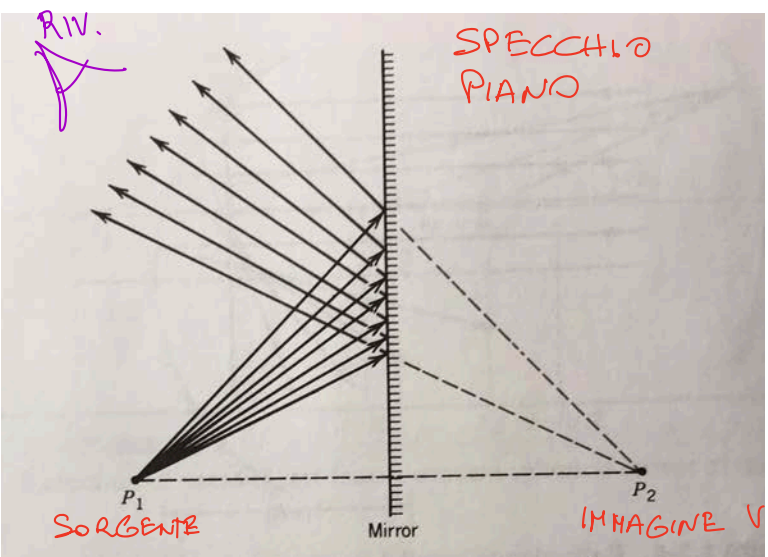


Figure 1.2-1 Reflection from a planar mirror.

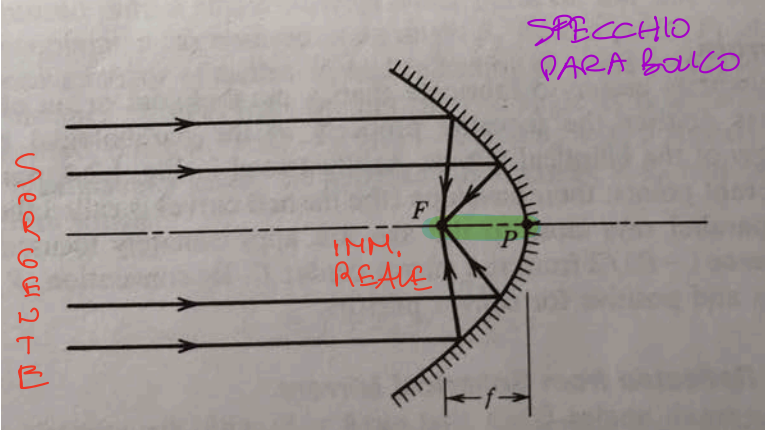
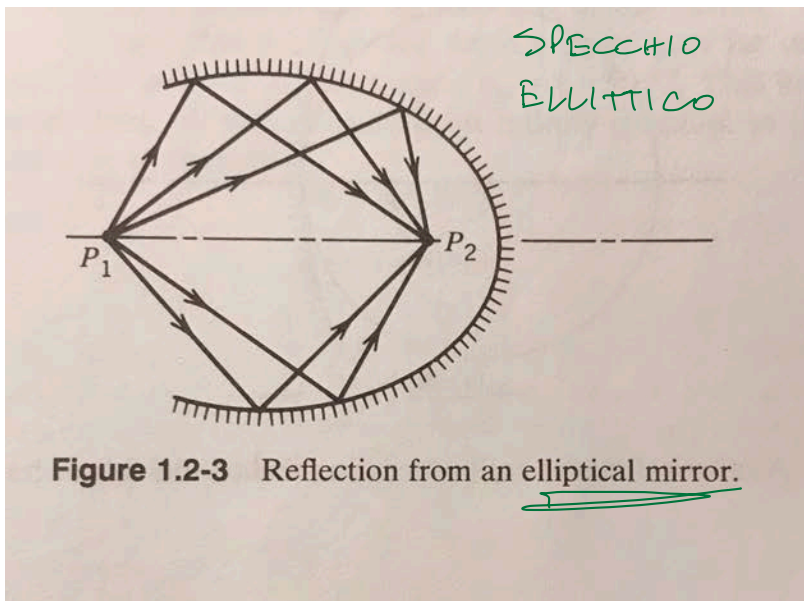
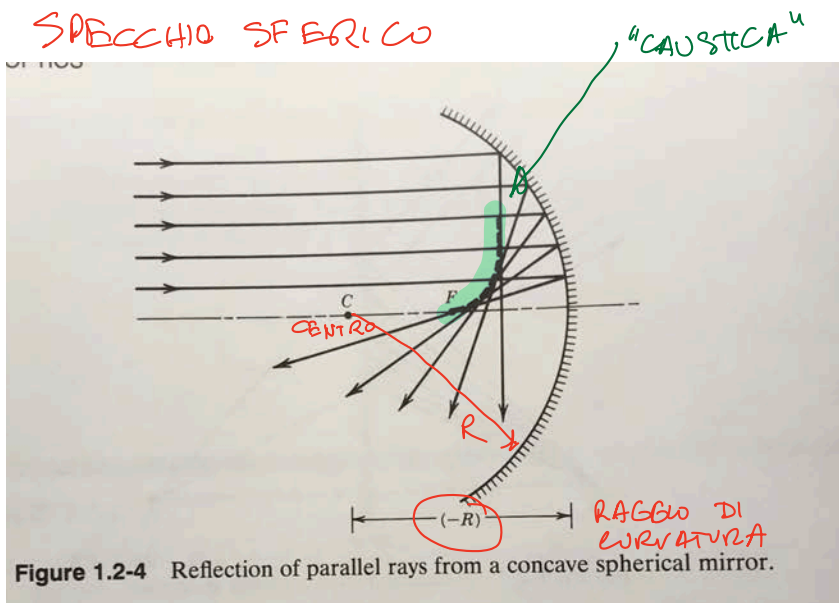


Figure 1.2-2 Focusing of light by a paraboloidal mirror.

$\overline{PF} = f = \text{distanza focale}$
 $F \rightarrow \text{fuoco}$



I punti P_1 e P_2 sono detti "fuochi"



- Più facile da fabbricare rispetto allo specchio parabolico.
- I raggi paralleli incontrano l'asse ottico in punti differenti (aberrazione sferica). Il loro involucro è una curva detta "caustica"
- Tuttavia, i raggi parassiali sono approssimativamente concentrati nel punto F
 $\overline{FC} = -\frac{R}{2} = \text{distanza focale}$

$R < 0 \rightarrow$ specchio concavo (come in figura)
 $R > 0 \rightarrow$ specchio convesso

INTERFACCIE CURVE E LENTI

- Si usa la legge di Snell
- Si considerano solo raggi "parassiali"

PER L'INTERFACCIA CURVA O "DIOTTRA"

$$\theta_2 = \frac{n_1}{n_2} \theta_1 - \frac{n_2 - n_1}{n_2 R} y$$

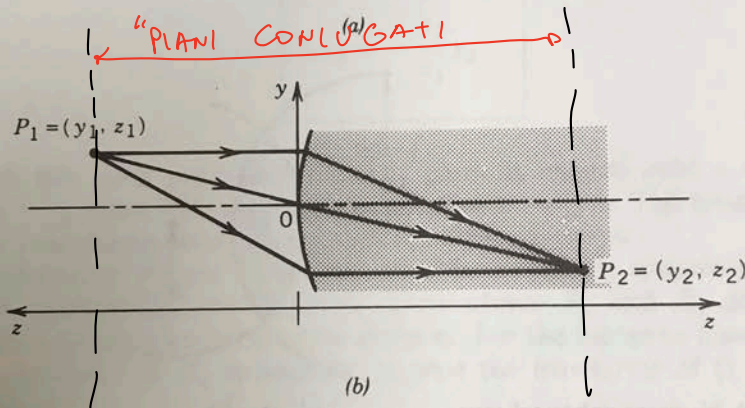
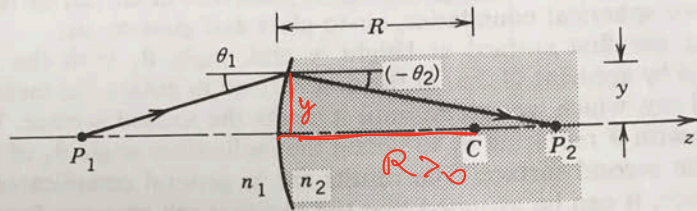


Figure 1.2-12 Refraction at a convex spherical boundary ($R > 0$).

$$\frac{u_1}{z_1} + \frac{u_2}{z_2} \approx \frac{u_2 - u_1}{R}$$

$$y_2 = -\frac{z_2}{z_1} y_1$$

INGRANDIMENTO

LENTI SOTTILI

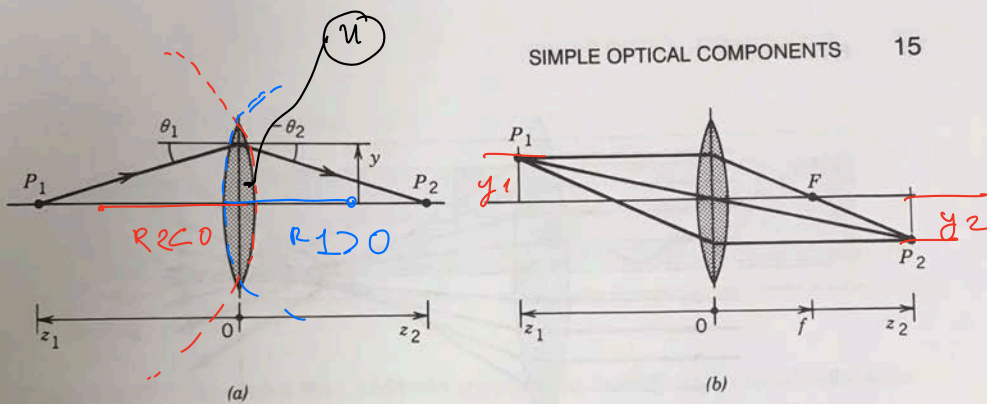


Figure 1.2-14 (a) Ray bending by a thin lens. (b) Image formation by a thin lens.

$$\frac{1}{z_1} + \frac{1}{z_2} = \frac{1}{f}$$

EQ. DELLA LENTE

$$\theta_2 = \theta_1 - \frac{y}{f}$$

con

$$\frac{1}{f} = (n-1) \left(\frac{1}{R_1} - \frac{1}{R_2} \right)$$

LUNGHEZZA FOCALE

$$y_2 = -\frac{z_2}{z_1} y_1$$

INGRANDIMENTO

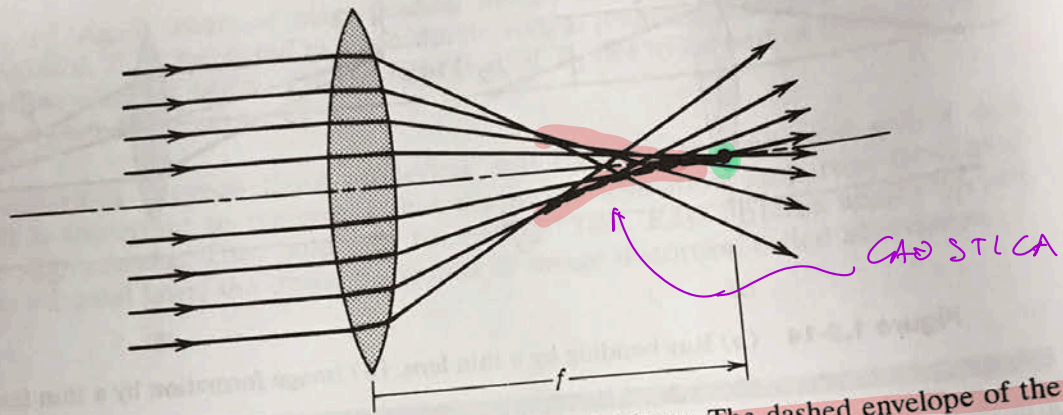


Figure 1.2-15 Nonparaxial rays do not meet at the paraxial focus. The dashed envelope of the refracted rays is called the caustic curve.

PRINCIPIO DELLA FIBRA OTTICA

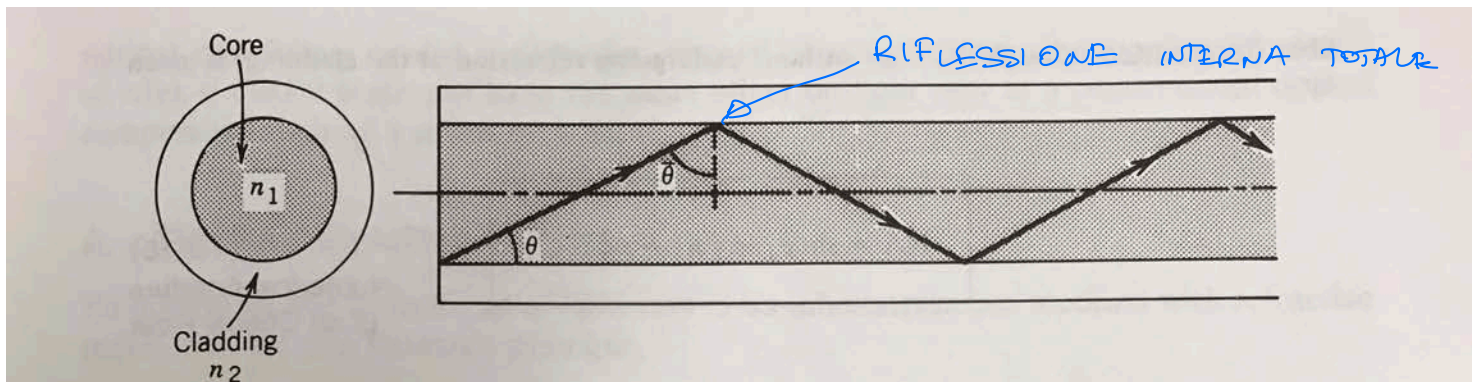
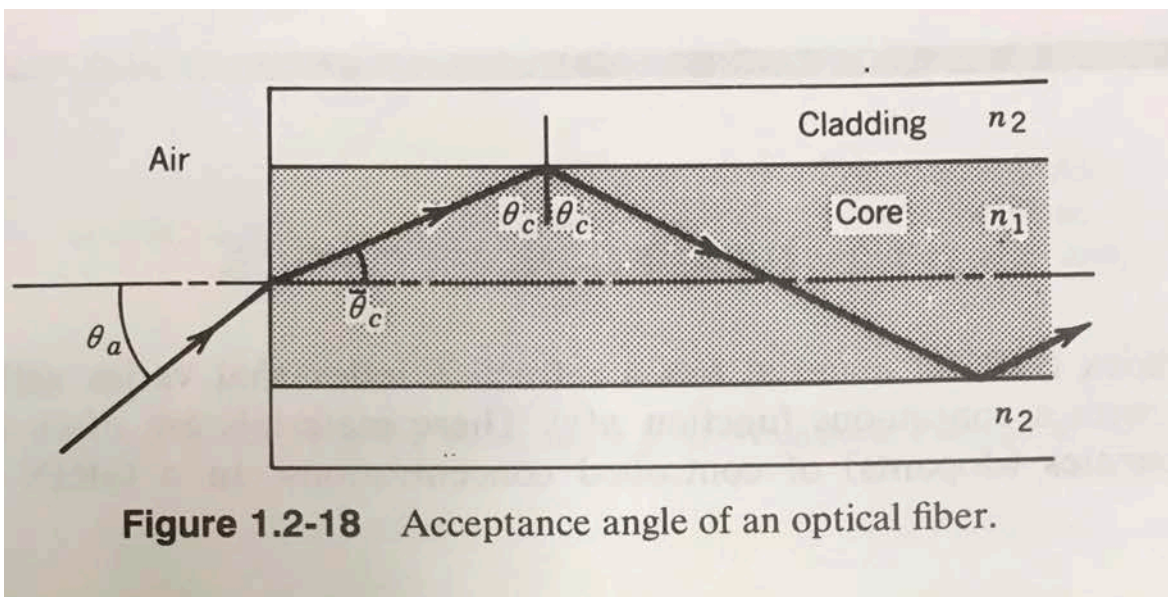


Figure 1.2-17 The optical fiber. Light rays are guided by multiple total internal reflections.

Per $\bar{\theta} = 90^\circ - \theta \Rightarrow \theta_c = \arcsin\left(\frac{n_2}{n_1}\right)$ si ha riflessione interna totale e quindi trasporto in fibra.

Apertura numerica e accettazione di una fibra ottica



θ_c deve essere tale che ci sia riflessione interna totale con angolo θ_c

$$\begin{aligned}
 n_{\text{air}} \sin \theta_a &= n_1 \sin \theta_c = n_1 \sin(\pi - \theta_c) \\
 &= n_1 \cos \theta_c = n_1 \sqrt{1 - \sin^2 \theta_c} = \\
 &= n_1 \sqrt{1 - \left(\frac{n_2}{n_1}\right)^2} = \sqrt{n_1^2 - n_2^2}
 \end{aligned}$$

Si definisce

APERTURA NUMERICA = N.A. = $\sin \theta_a = \sqrt{n_1^2 - n_2^2}$

USI PRINCIPALI DELLE FIBRE OTICHE

- ILLUMINAZIONE
- FOTO/VIDEO (IMAGING)
- TELECOMUNICAZIONI
- RICERCA
 - TRASMISSIONE DATI
 - RIVELATORI DI PARTICELLE (SCIFI DETECTORS)
 - TRASPORTO SEGNALI LUMINOSI (ES. MUON G-2)

PROPAGAZIONE DELLA LUCE NELLE FIBRE OTTICHE

- Se la lunghezza d'onda della luce è piccola rispetto al diametro della fibra, la natura ondulatoria della luce non conta e si applica l'ottica geometrica ($\lambda \ll d$)
- Se invece $\lambda \sim d$ la propagazione avviene in maniera simile a quella delle microonde che si propagano nelle guide d'onda.
- Discutiamo per il momento il caso $\lambda \ll d$.

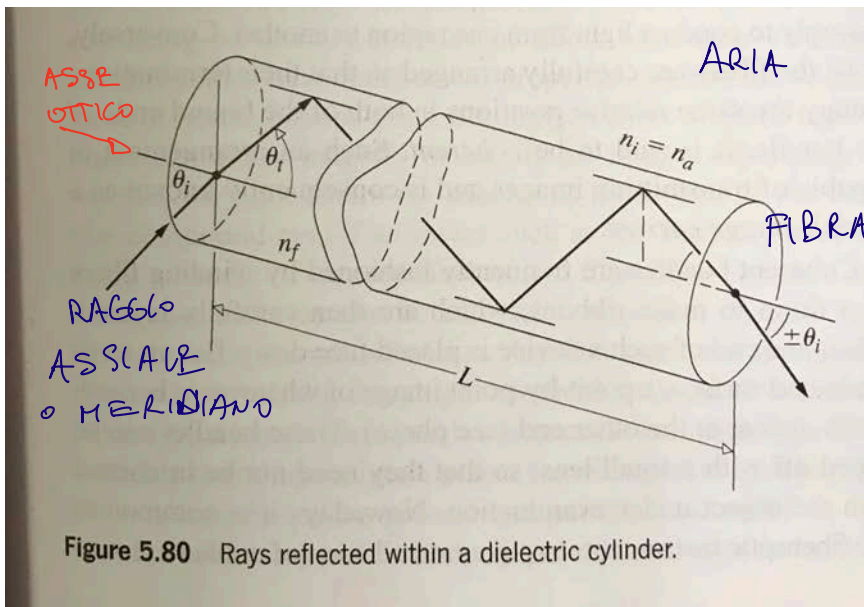


Figure 5.80 Rays reflected within a dielectric cylinder.

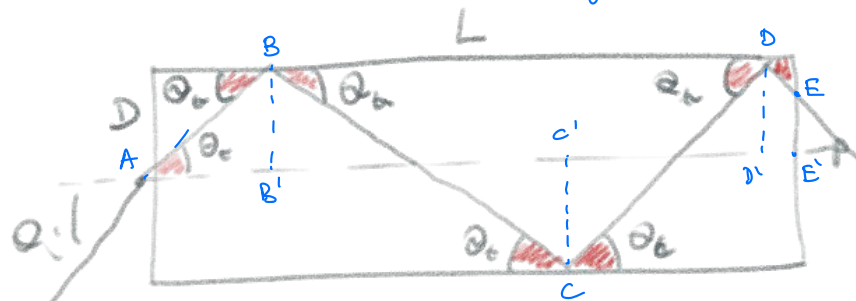
CASO "FIBRA NUDA"

- la fibra è semplicemente un cilindro di materiale trasparente con $n_f > n_a$
- Consideriamo un RAGGIO ASSIALE \Rightarrow Complesso con l'asse ottico centrale
- \rightarrow Esce dall'altro estremo della fibra

- $D \rightarrow$ diametro della fibra
- $L \rightarrow$ lunghezza della fibra
- $\theta_i \rightarrow$ angolo di incidenza oie \rightarrow fibra
- $\theta_t \rightarrow$ angolo di rifrazione all'interno della fibra

$$\sin \theta_i = n_f \sin \theta_t$$

Lunghezza del cammino percorso dal raggio $l = \frac{L}{\cos \theta_t} (> L!)$



$$\begin{aligned}
 l &= \overline{AB} + \overline{BC} + \overline{CD} + \overline{DE} \\
 L &= \overline{AB'} + \overline{B'C'} + \overline{C'D'} + \overline{D'E'} = \overline{AB} \cos \theta_t + \overline{BC} \cos \theta_t + \overline{CD} \cos \theta_t + \overline{DE} \cos \theta_t \\
 &= (\overline{AB} + \overline{BC} + \overline{CD} + \overline{DE}) \cos \theta_t \\
 &= l \cos \theta_t
 \end{aligned}$$

Segue allora $l = \frac{L}{\sqrt{1 - \sin^2 \theta_o}} = \frac{L}{\sqrt{1 - \frac{\sin^2 \theta_i}{n_f^2}}} = \frac{n_f L}{\sqrt{n_f^2 - \sin^2 \theta_i}}$

e il numero di riflessioni è dato da

$$N_r = \left\lfloor \frac{l}{D/\sin \theta_o} \right\rfloor \pm 1$$

lunghezza del percorso laterale del raggio

interos dipende da dove esce il raggio

$$l = \overline{AB} + \overline{BC} + \overline{CD} + \overline{DE} = 4\overline{AB} + \overline{DE}$$

$$D = 2\overline{AB} \sin \theta_o \Rightarrow \frac{D}{2\sin \theta_o} = \overline{AB}$$

$$N_r = \left\lfloor \frac{4\overline{AB} + \overline{DE}}{2} \right\rfloor \pm 1 = 2 \pm 1$$

int = 2 + 1 = 3

Se $N_r \gg 1$, come succede spesso in pratica, allora

$$N_r \approx \left\lfloor \frac{l}{D/\sin \theta_o} \right\rfloor \text{ interos}$$

Esempio numerico

$$D = 100 \mu\text{m} \quad L = 1 \text{ m}$$

$$\theta_i = 30^\circ \quad n_f = 1.6$$

$$l = \frac{1.6}{\sqrt{(1.6)^2 - \left(\frac{1}{2}\right)^2}} = 1.053 \text{ m}$$

$$\sin \theta_o = \frac{\sin \theta_i}{1.6} = \frac{0.5}{1.6}$$

$$N_r = \frac{1.053 \text{ m}}{\frac{10^{-4} \text{ m} \cdot 1.6}{0.5}} = 3290 \text{ riflessioni per metro}$$

→ Le fibre nude di solito non sono usate perché:

- impurità sulle superficie (polvere, oli, etc...) possono impedire la riflessione interna totale e causare perdite

- se molte fibre non impacciate insieme ci può essere passaggio di luce da una all'altra ("cross-talk")

- la fibra nude ha un grande angolo di

accettanza $\sin \theta_c = \sqrt{n_f^2 - 1}$ ($\theta_c = 90^\circ$ se $n_f = 1.6$)
 poiché $\sqrt{n_f^2 - 1} > 1$

e quindi "eccoppa" molta luce,

tuttavia supporta moltissimi "modi" che

le rendono inadatte alla trasmissione di segnale

(*) vedremo in seguito cosa sono i "modi"

Le fibre normalmente in uso hanno perciò un rivestimento con $n_c > 1$ e $n_c < n_f$ detto "CLADDING". Quest'ultimo ha anche la funzione di proteggere il nucleo ("core") delle fibre e di aumentare la resistenza meccanica.

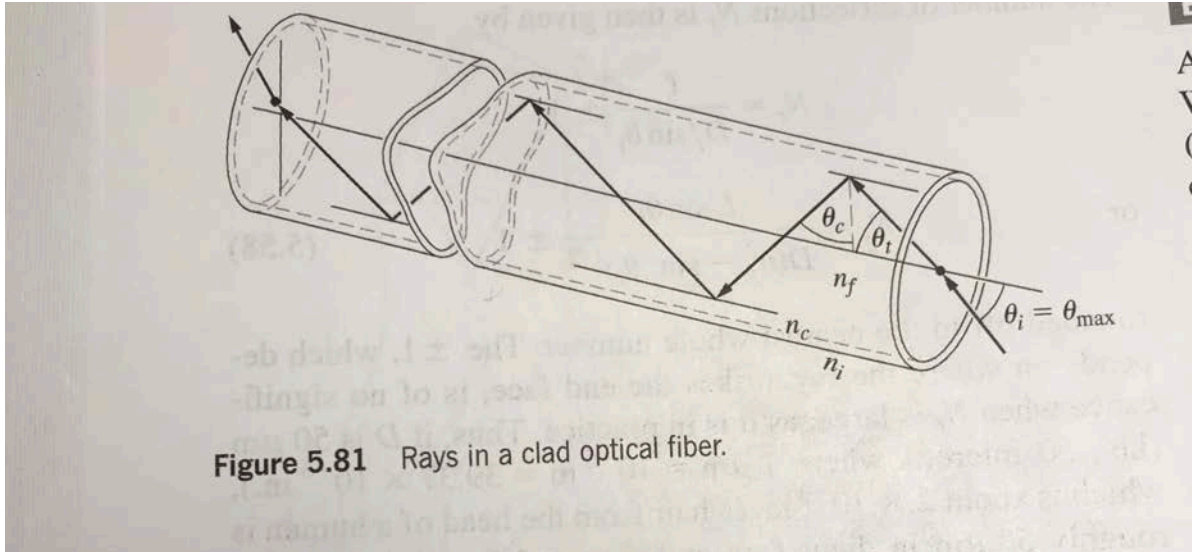


Figure 10.1-1 The trajectory of a meridional ray lies in a plane that passes through the fiber axis. The ray is guided if $\theta < \bar{\theta}_c = \cos^{-1}(n_2/n_1)$.



Figure 10.1-2 A skewed ray lies in a plane offset from the fiber axis by a distance R . The ray is identified by the angles θ and ϕ . It follows a helical trajectory confined within a cylindrical shell with inner and outer radii R and a , respectively. The projection of the ray on the transverse plane is a regular polygon that is not necessarily closed.

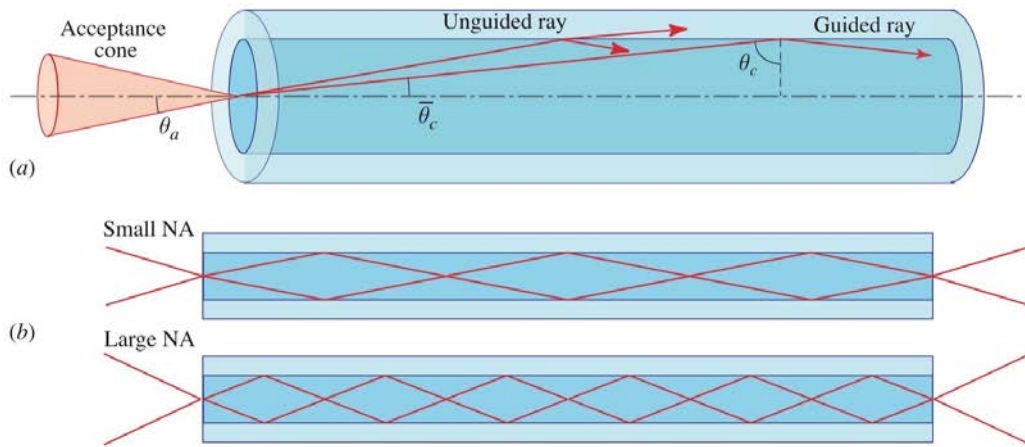


Figure 10.1-3 (a) The acceptance angle θ_a of a fiber. Rays within the acceptance cone are guided by total internal reflection. The numerical aperture $NA = \sin \theta_a$. The angles θ_a and θ_c are typically quite small; they are exaggerated here for clarity. (b) The light-gathering capacity of a large NA fiber is greater than that of a small NA fiber.

• Più fibre ottiche possono essere riunite in un fascio o "bundle":

— in maniera casuale → "bundle" incoerente
→ per illuminazione

— mantenendo le posizioni relative all'ingresso e all'uscita del bundle → "bundle" coerente,
→ per il trasporto di immagini
→ endoscopi ed esempio

CLASSIFICAZIONE DELLE FIBRE -

A seconda dell'angolo di lancio nella fibra, ci possono essere moltissimi (centinaia o migliaia) di percorsi diversi che i raggi possono seguire all'interno della fibra - Questi percorsi si dicono "modi".

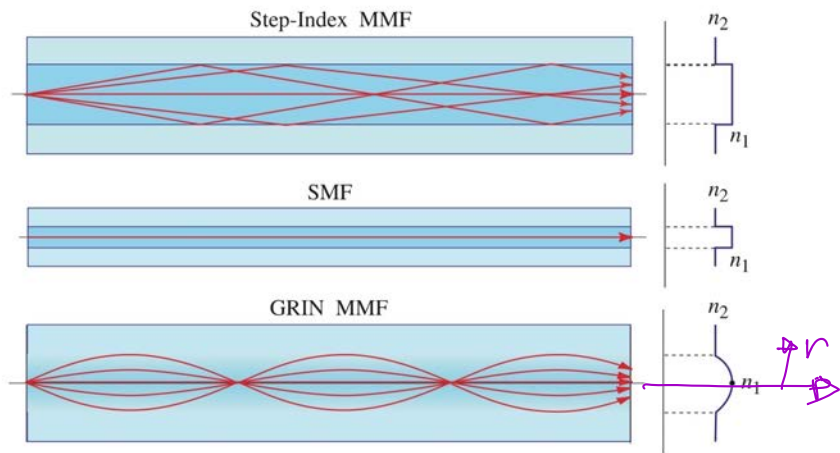


Figure 10.0-2 Geometry, refractive-index profile, and typical rays in a step-index multimode fiber (MMF), a single-mode fiber (SMF), and a graded-index multimode fiber (GRIN MMF).

MMF - Multi Mode Fiber
 Molti modi differenti
 ciascuno dei quali
 converge al suo
 stesso tempo di
 travaso DIA. tipico $\approx 100 \mu\text{m}$

SMF - Single Mode
 Fiber
 Un solo modo
 ("percors") possibile
 DIA. tipico $\approx 10 \mu\text{m}$

GRIN MMF - Fibra
 a indice variabile
 Molti modi differenti,
 ma con tempi di
 propagazione simili perché
 $n(r)$ decresce con r

STEP-INDEX FIBER

$$\Delta = \frac{n_1 - n_2}{n_1} \ll 1 \quad \text{vittorio che di solito}$$

n_2 e n_1 sono vicini

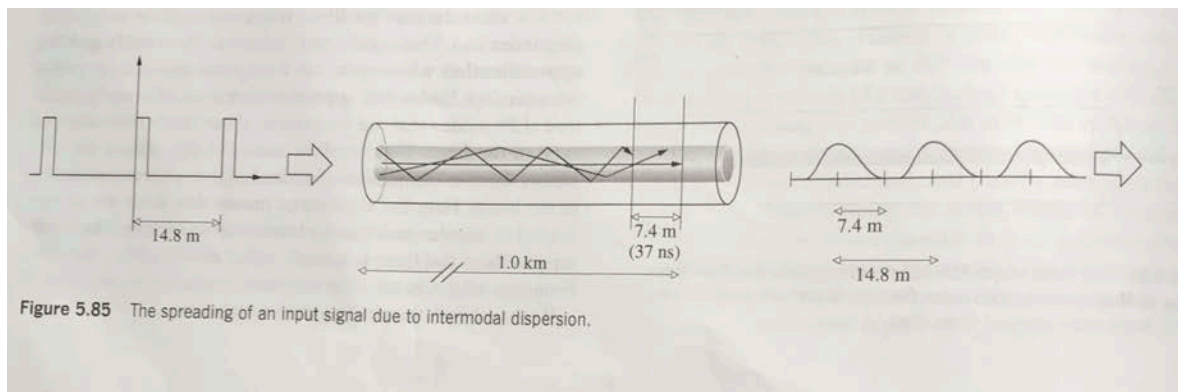
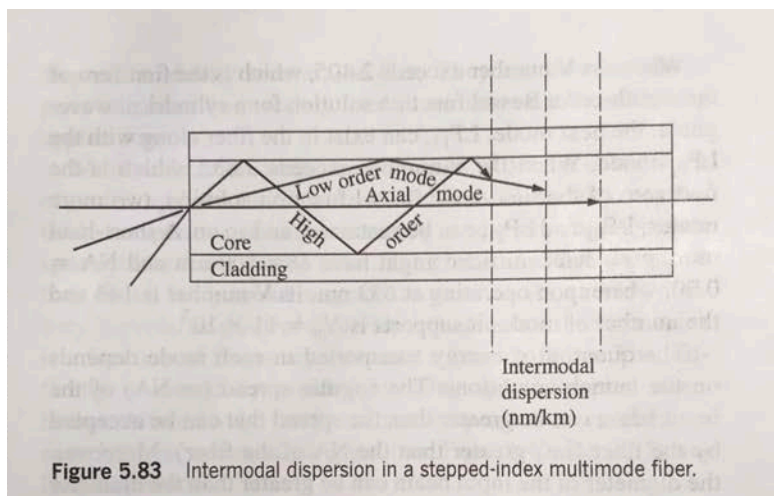
Tipicamente: fibre di SiO_2 (vetro) ultrapuro
 trattate con dopanti (Ti, Ge = B):
 $n_1 = 1.44 - 1.46$, $\Delta = 0.001 - 0.002$

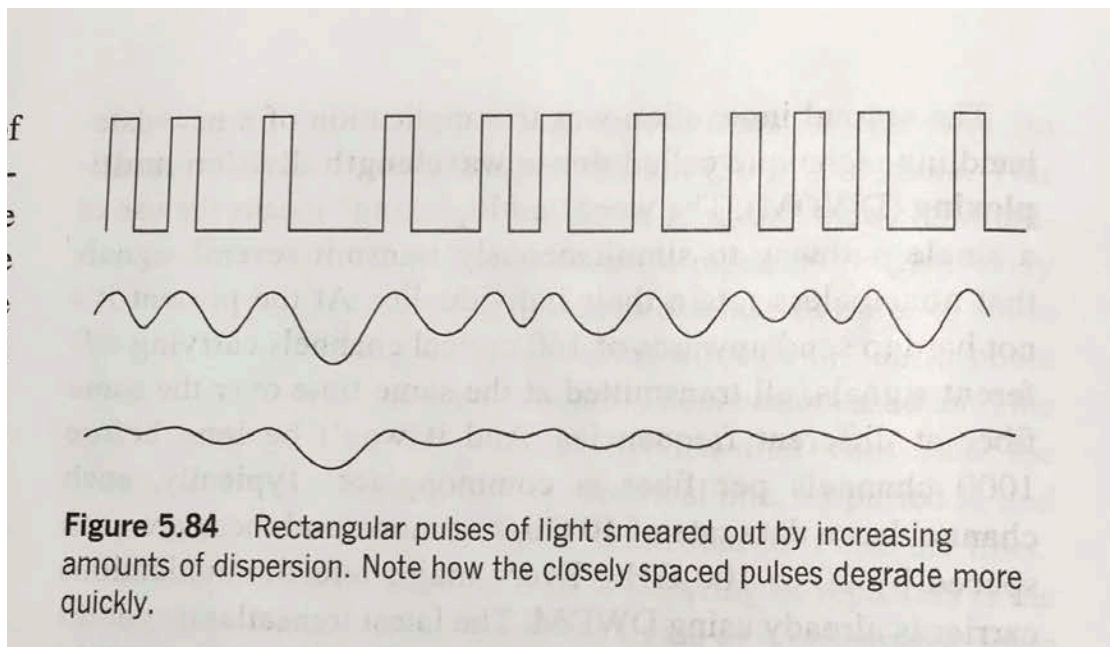
Apertura numerica $NA = (n_1^2 - n_2^2)^{1/2} \approx n_1 (2\Delta)^{1/2}$

DISPERSIONE INTERMODALE

In una fibra MMF step-index
 differenti modi si propagano con
 tempi diversi.
 siccome ogni modo è caratterizzato
 da una certa frequenza, un
 impulso, composto da più componenti
 con frequenze diverse, viene
 deformato nella propagazione lungo
 la fibra.

Questo limita la frequenza
 con la quale i dati possono essere
 trasmessi lungo la fibra.

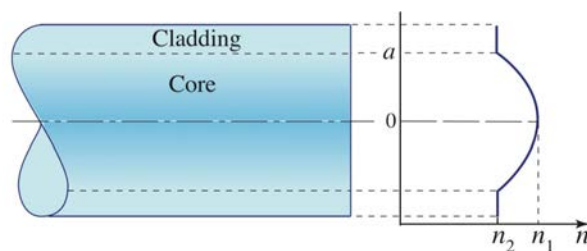




- Evita anche la DISPERSIONE INTRAMODALE: deformazione di un impulso dovuta alla dipendenza $n(\omega)$ (dette anche dispersione del materiale)
- Le fibre SMF non hanno ovviamente il problema della dispersione intramodale, tuttavia i piccoli diametri ed angoli di accettazione limitano l'intensità luminosa che possono trasportare -
- Una soluzione viene dalle fibre **GRIN**, in cui i tempi di percorrenza dei vari modi sono circa uguali!

GRIN MMF - Graded Index Fibers

- L'indice di rifrazione \bar{n} è massimo al centro (nell'asse) e decresce gradualmente verso i lati, quindi la velocità di fase \bar{v} è minima al centro e massima verso i bordi \Rightarrow i modi con i percorsi più lunghi sono anche quelli che si propagano più rapidamente

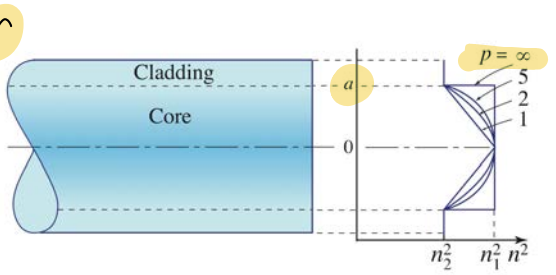


Normalmente l'indice di rifrazione è costante per il cladding, mentre per il core

$$n^2(r) = n_1^2 \left[1 - 2 \left(\frac{r}{a} \right)^p \Delta \right], \quad r \leq a$$

$a \rightarrow$ raggio del core

$$\Delta = \frac{n_1^2 - n_2^2}{2n_1^2} \approx \frac{n_1 - n_2}{n_1} \quad \text{se } n_1 \approx n_2$$



$p =$ "grade profile parameter"
(Step-index $p = \infty$)

In una fibra GRIN

- raggi assiali \rightarrow traiettorie sinus oscillanti
- raggi sfermici \rightarrow traiettorie elicoidali confinate

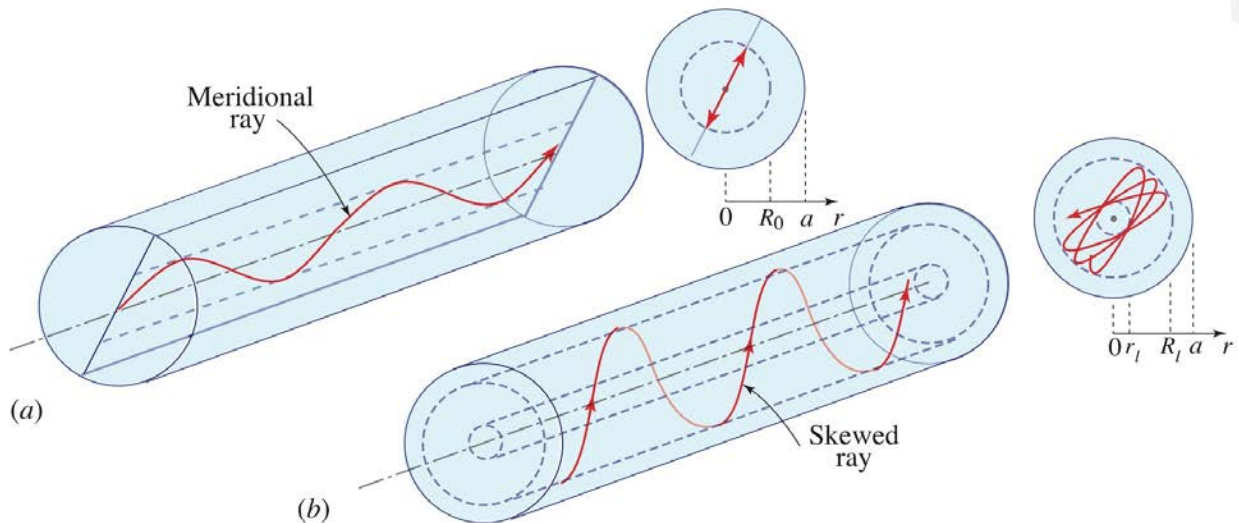


Figure 10.1-6 Guided rays in the core of a GRIN fiber. (a) A meridional ray confined to a meridional plane inside a cylinder of radius R_0 . (b) A skewed ray follows a helical trajectory confined within two cylindrical shells of radii r_l and R_l . For a parabolic-index profile, the trajectory projects to a stationary ellipse, as in Fig. 1.3-7.

- Per i raggi assiali l'apertura numerica è data da

$$NA = (n_1^2 - n_2^2)^{1/2} \approx n_1 (2\Delta)^{1/2}$$

- Per i raggi sfermici è dato dal più grande angolo di incidenza tale che il raggio guidato non raggiunge il cladding

OTTICA GRIN

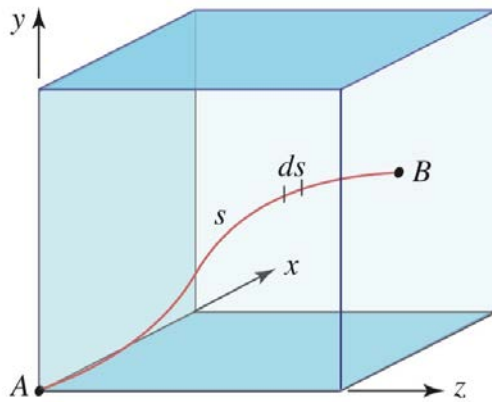
Per determinare le traiettorie dei raggi che si propagano in un mezzo non omogeneo con indice di rifrazione $n(\vec{r})$ usiamo il principio di Fermat:

$$\int_A^B n(\vec{r}) ds = 0$$

• Se la traiettoria \vec{r} è descritta da tre funzioni

$$x(s), y(s), z(s)$$

si può dimostrare che deve valere



$$\begin{cases} \frac{d}{ds} \left(n \frac{dx}{ds} \right) = \frac{\partial n}{\partial x} \\ \frac{d}{ds} \left(n \frac{dy}{ds} \right) = \frac{\partial n}{\partial y} \\ \frac{d}{ds} \left(n \frac{dz}{ds} \right) = \frac{\partial n}{\partial z} \end{cases}$$

$$\vec{r} = (x(s), y(s), z(s))$$

\Rightarrow

$$\frac{d}{ds} \left(n \frac{d\vec{r}}{ds} \right) = \vec{\nabla} n$$

EQUAZIONE DEI RAGGI

• L'equazione si può in linea di principio risolvere scrivendo la traiettoria con due funzioni $x(z)$ e $y(z)$, ricavare $ds = dz \left[1 + \left(\frac{dx}{dz} \right)^2 + \left(\frac{dy}{dz} \right)^2 \right]^{1/2}$ e sostituire \Rightarrow non bene!

APPROSSIMAZIONE PARASSIALE

• Se la traiettoria \vec{r} è quasi parallela all'asse z , si può ricavare $ds \approx dz$, quindi le tre equazioni (*) diventano

$$\frac{d}{dz} \left(u \frac{dx}{dz} \right) \approx \frac{\partial u}{\partial x} \quad \frac{d}{dz} \left(u \frac{dy}{dz} \right) \approx \frac{\partial u}{\partial y} \quad \left(\text{la terza} \right)$$

(è un'identità)

EQUAZIONI DEI RAGGI PARASSIALI

- Se $u(x, y, z)$ è noto si possono risolvere
- Nel caso di un mezzo omogeneo u non dipende da x, y, z , quindi $\frac{d^2 x}{dz^2} = 0$, $\frac{d^2 y}{dz^2} = 0 \Rightarrow x$ e y sono funzioni lineari di $z \Rightarrow$ le traiettorie sono linee rette

Fibra GRIN

Prendiamo l'espressione

$$n^2(r) = n_0^2 \left[1 - 2 \left(\frac{r}{a} \right)^p \Delta \right], \quad r \leq a$$

e irriducibile come

$$n^2 = n_0^2 \left[1 - \alpha^2 (x^2 + y^2) \right]^2 \quad \text{dove}$$

$$p=2$$

$$\alpha^2 = \frac{2\Delta}{a^2}$$

$$r^2 = x^2 + y^2$$

Nell'approssimazione parassiale $\alpha^2(x^2 + y^2) \ll 1$

per cui

$$\frac{d^2 x}{dz^2} \approx -\alpha^2 x \quad \frac{d^2 y}{dz^2} \approx -\alpha^2 y$$

\Rightarrow x e y sono funzioni sinusoidali di z con periodo $\frac{2\pi}{\alpha}$. I valori delle posizioni iniziali (x_0, y_0) e degli angoli iniziali $\theta_{x0} = \frac{dx}{dz}$, $\theta_{y0} = \frac{dy}{dz}$ determinano l'ampiezza e fase delle funzioni. Possiamo porre $x_0 = 0$ grazie alle simmetrie circolari quindi

$$x(z) = \frac{\theta_{x0}}{\alpha} \sin \alpha z$$

(*)

$$y(z) = \frac{\theta_{y0}}{\alpha} \sin \alpha z + y_0 \cos \alpha z$$

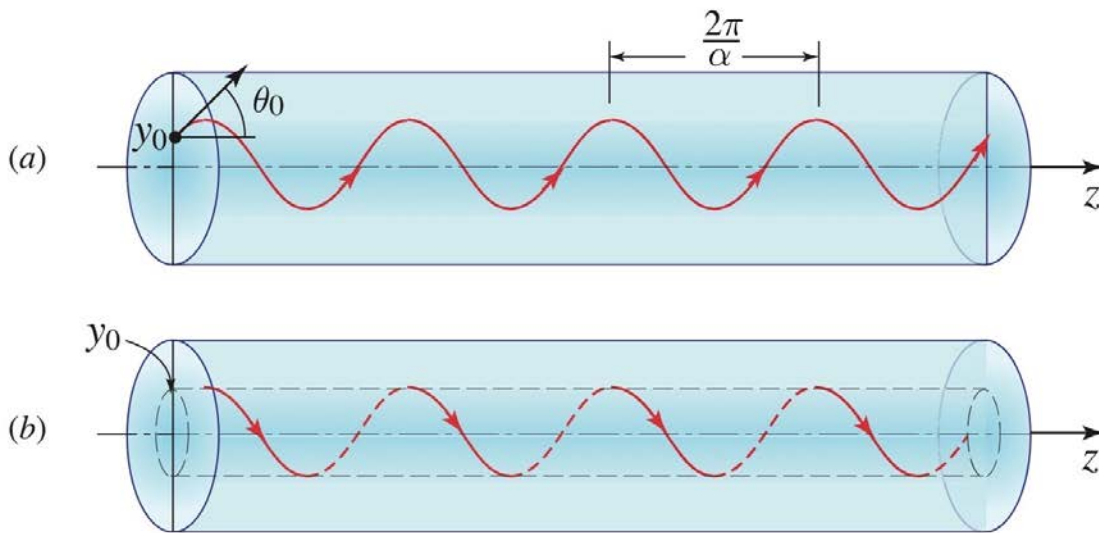


Figure 1.3-7 (a) Meridional and (b) helical rays in a graded-index fiber with parabolic index profile.

- Dalle equazioni (*) si vede che se $\theta_{x_0} = 0$ (raggio meridionale) il raggio continua in un piano contenente per l'asse e segue una traiettoria sinusoidale (come (a) in figura sopra)
- Se invece $\theta_{y_0} = 0$ e $\theta_{x_0} = \alpha y_0$ allora

$\begin{aligned} x(z) &= y_0 \sin \alpha z \\ y(z) &= y_0 \cos \alpha z \end{aligned}$	}	traiettoria elicoidale giacente sulla superficie del cilindro di raggio y_0
--	---	---
- In entrambi i casi il raggio rimane confinato nella fibra -

FIBRE OPTIC PER "MUON G-2"



$$\lambda = 405 \text{ nm}$$

$$V\text{-number} = \frac{\pi D_{NA}}{\lambda_0} = \frac{\pi (400 \times 10^{-6}) (0.22)}{405 \times 10^{-9}}$$

$$= 682.27$$

Number of modes $N_m = \frac{1}{2} (V\text{-number})^2 = 2.33 \times 10^5$



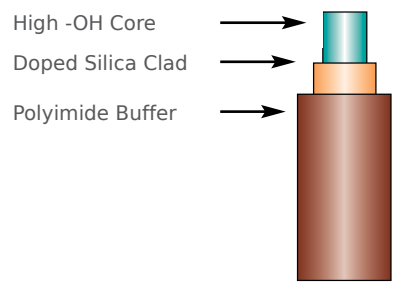
**High -OH
Deep UV Enhanced**

For applications in the deep UV region (190nm - 325nm), effects of high levels of UV radiation on the transmission of a silica core optical fiber must be considered. Solarization changes depend on the type of fiber used as well as the intensity and spectral output of the UV source. These changes are wavelength dependent.

CHARACTERISTICS

- Step index
- Numerical aperture: 0.22 ± 0.02
full acceptance cone: 25.4 degrees
- Operating wavelength down to 190nm
- Ultra high UV transmission
- Ultra low UV solarization
- Superior radiation resistance
- Sterilizable and bio-compatible – USP class VI*
- High laser damage threshold
- High -OH silica core, doped silica clad
- Polyimide buffer standard
- Polyimide concentricity < 3µm
- Custom core sizes, buffers and assemblies available

Proof tested to 100kpsi
Operating temperature: -65°C to +300°C

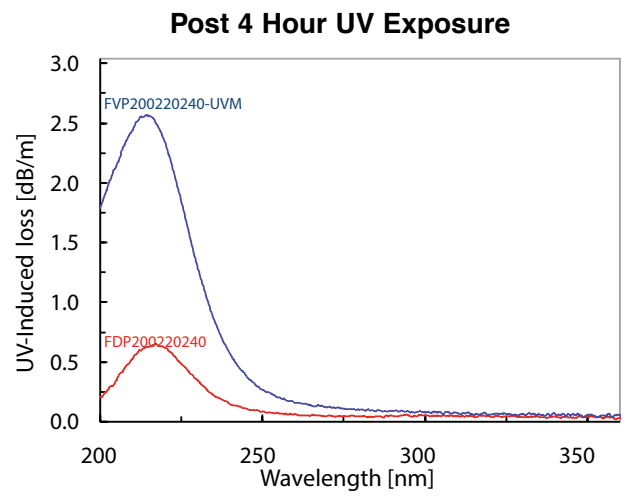
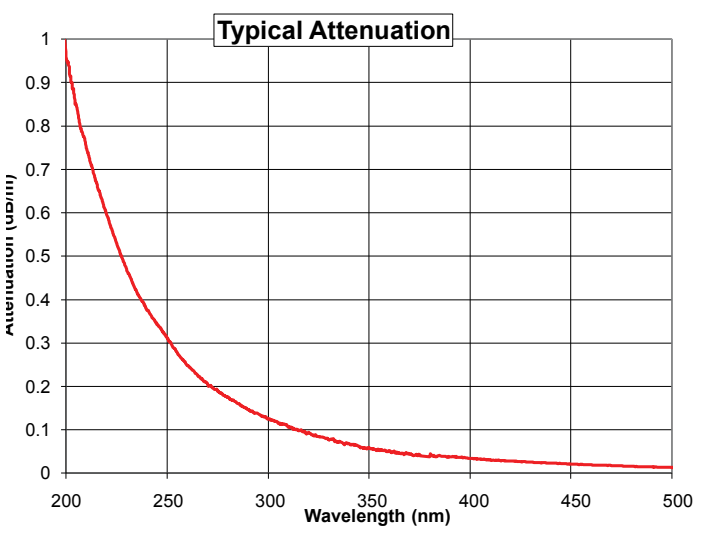


Specifications

Product Descriptor	Core (µm)	Clad (µm)	Buffer (µm)
FDP100110125	100 ± 3	110 ± 3	124 ± 3
FDP200220240	200 ± 4	220 ± 4	240 ± 5
FDP400440480	400 ± 8	440 ± 9	480 ± 7
FDP600660710	600 ± 10	660 ± 10	710 ± 10

Note: The items listed in this table are standard configurations and sizes. Other configurations may be available on request.

* The end manufacturer is responsible for bio-compatibility and sterilization testing and validation studies.



www.molex.com/polymicro

High -OH

CHARACTERISTICS

Step index Sterilizable and bio-compatible – USP class VI*

Numerical aperture: 0.22 ± 0.02
Full acceptance cone: 25.4 degrees High -OH silica core, doped silica clad

UV-Vis-NIR transmission, 180nm to 1,150nm Polyimide buffer standard; silicone, acrylate, high-temperature acrylate also available.

Superior radiation resistance Polyimide concentricity $< 3\mu\text{m}$

High laser damage threshold

Polymicro SILICA/ SILICA Optical Fiber FV

Sizes for bundling

Tighter tolerances available

Temperature:
operating -65°C to $+300^{\circ}\text{C}$
intermittent, up to 400°C

Proof tested to 100kpsi

Specifications

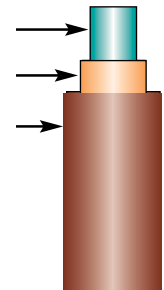
Product Descriptor	Core (μm)	Clad (μm)	Buffer (μm)
FVP050055065*	50 ± 2	55 ± 2	65 ± 2
FVP100110125**	100 ± 3	110 ± 3	124 ± 3
FVP150165195	150 ± 3	165 ± 3	195 ± 5
FVP200220240	200 ± 4	220 ± 4	239 ± 5
FVP300330370	300 ± 6	330 ± 7	370 ± 10
FVP400440480	400 ± 8	440 ± 9	480 ± 7
FVP600660710	600 ± 10	660 ± 10	710 ± 10
FVA8008801100***	800 ± 20	880 ± 15	1100 ± 30
FVP100120140	100 ± 3	120 ± 3	140 ± 4
FVP200240280	200 ± 4	240 ± 4	275 ± 5
FVP320385415	320 ± 8	385 ± 8	415 ± 10
FVA100010501250***	1000 ± 20	1050 ± 15	1250 ± 40

* Recommended for UV wavelengths only. Availability varies.

** Not recommended for wavelengths greater than 1000nm.

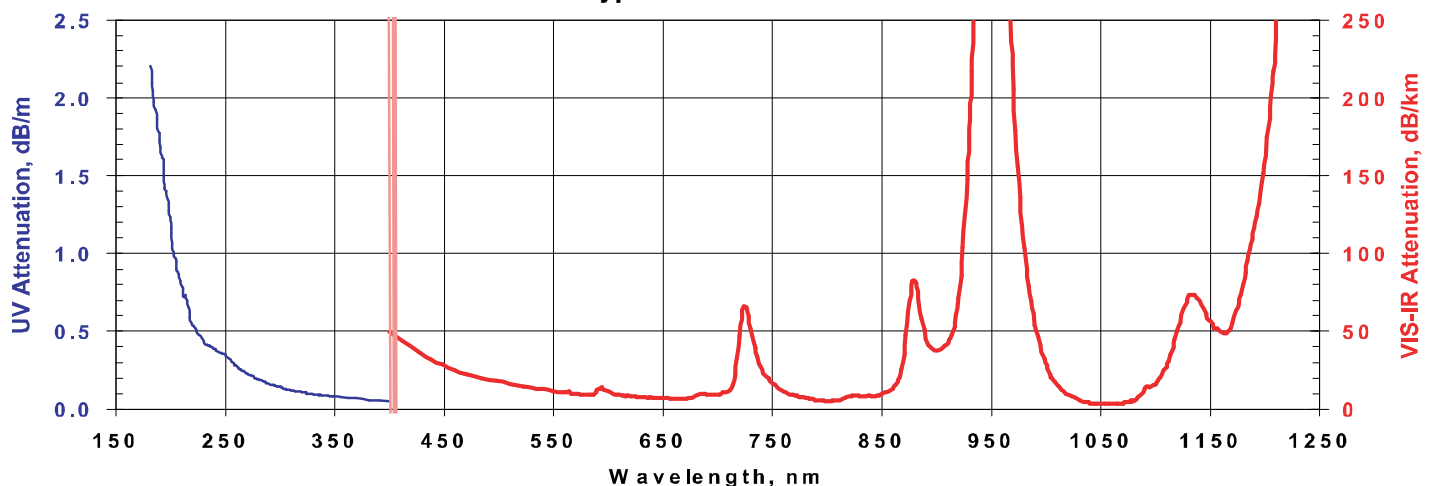
*** Acrylate buffer

High -OH Core
Doped Silica Clad
Polyimide Buffer



Note: The items listed in this table are standard configurations and sizes. Other configurations may be available on request.

Typical Attenuation



* The end manufacturer is responsible for bio-compatibility and sterilization testing and validation studies.